

## XRD, XRF Study of Magnetic Phases of Fe-Ferrite Produced by Dry Reduction of Hematite

Zaker, A. M.

Department of Physics, Iran University of Technology, Tehran, Iran

Alavi, M.

Department of Chemistry, Faculty of Sciences, University of Isfahan, Isfahan, Iran

**Key Words:** Magnetic Phase, Fe-Ferrite, Reduction of Hematite

**Abstract:** produced iron - ferrite( $Fe_3O_4$ ) by methods of dry reduction of hematite( $\alpha-Fe_2O_3$ ) are investigated on magnetic phases and properties with X-ray diffractometry and also measurements of magnetisation. The results show that the percentage and kind of reductive materials, the heating temperature and time have serious effects in production of  $Fe_3O_4$ .

پژوهشی

بررسی فازهای ترکیبی در فریت آهن،  
تهیه شده از احیاء خشک هماتیت نامغناطیسی،  
با استفاده از پراش سنجی و فلورسانی پرتو X

عبدالمهدی ذاکر

دانشکده فیزیک - دانشگاه علم و صنعت ایران

مهدی علوی

گروه شیمی - دانشگاه اصفهان

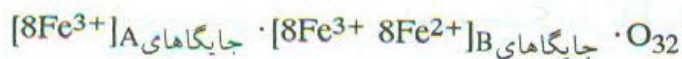
چکیده: برای آگاهی از تشکیل فاز اسپینل،  $\text{Fe}_3\text{O}_4$ ، در فریت آهن که به روش احیاء خشک هماتیت نامغناطیسی تهیه شده بود نمونه‌هایی از آن را با استفاده از روش پراش سنجی پرتو X، مورد تحلیل کیفی و کمی قرار دادیم. نتایج به دست آمده نشان دادند که نسبت فاز  $\text{Fe}_3\text{O}_4$  در آنها بین ۹۶ تا ۹۹ بوده است. مناسبترین درصد مواد احیاء کننده و دماهای پخت در ۵ دقیقه به ترتیب ده درصد نشاسته و  $720^\circ\text{C}$ ، یا سی و پنج درصد کربن فعال و  $740^\circ\text{C}$  تشخیص داده شد.

#### مقدمه

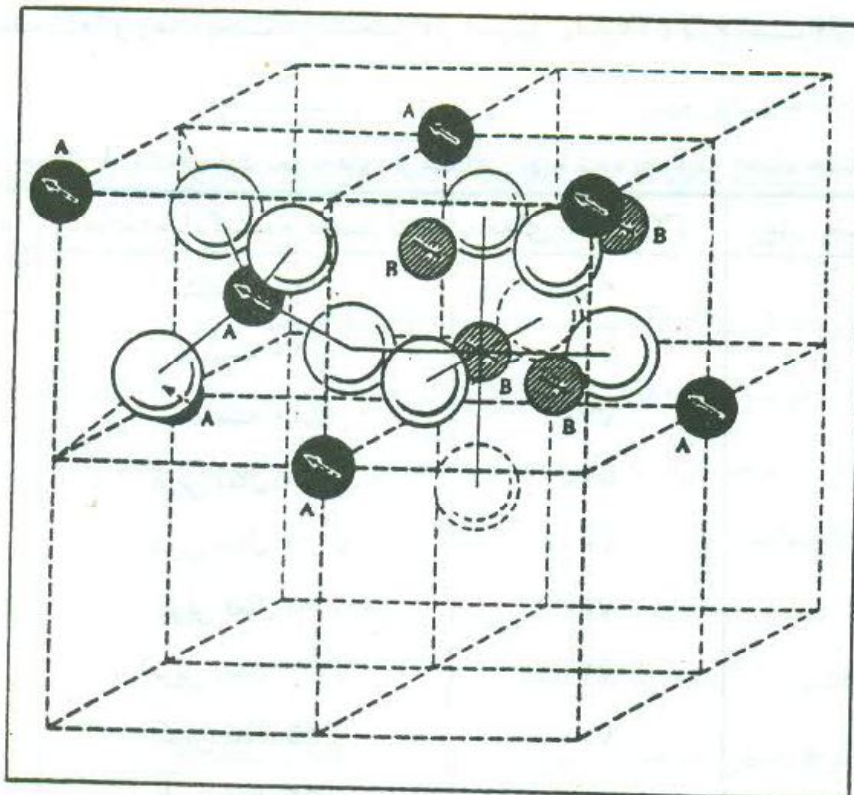
مواد فری مغناطیسی (فریتها) مانند مواد فرومغناطیسی دارای مغناطش خود بخودی اند، ولی مغناطش آنها حتی در دمای صفر مطلق با مجموع گشتاورهای مغناطیسی یونهای تشکیل دهنده آنها (مغناطش اشباعی) برابر نیست. فریتها که ترکیبات جامد اکسیدی هستند، ردۀ مهمی از مواد مغناطیسی را تشکیل می‌دهند. در این مواد آهن سه ظرفیتی  $\text{Fe}^{3+}$ . سهم زیادی دارد و از لحاظ ساختاری به سه دسته عمده، اسپینلی، گارتنتی (narسنگ)، و شش گوشی تقسیم می‌شوند [۱ و ۲]. رفتار مغناطیسی فریتها، بر حسب

ساختار و عناصر سازی آنها، متفاوت است و به دو گروه مغناطیس نرم و سخت دسته‌بندی می‌شوند. قدیمی‌ترین نمونه شناخته شده فریتهای مغناطیسی، فریت آهن  $\text{Fe}_3\text{O}_4 \equiv \text{FeO}\text{Fe}_2\text{O}_3$  است که رفتار مغناطیسی آن از یونهای آهن دو ظرفیتی  $\text{Fe}^{2+}$  و سه ظرفیتی  $\text{Fe}^{3+}$  ناشی می‌شود.

ساختار بلوری  $\text{Fe}_3\text{O}_4$  به صورت اسپینل وارون و با فرمول شیمیایی زیر است:



که در آن یونهای اکسیژن با شعاعی در حدود  $13\text{ nm}$  ر. جایگاههای شبه fcc، و یونهای فلزی با شعاعی در حدود  $7\text{ nm}$  ر. تا  $8\text{ nm}$  ر. فضای بین آنها که جایگاههای چهار وجهی (A) و هشت وجهی (B) تشکیل می‌دهند، اشغال می‌کنند، شکل ۱ [۳]. برهم کنش تبادلی میان یونهای مغناطیسی به صورت غیرمستقیم، از طریق یونهای دیامغناطیسی اکسیژن برقرار می‌شود (ابر برهم کنش) و نظم فری مغناطیسی پدید می‌آید [۴].



شکل ۱ آرایش اسپینل ساختار بلوری اسپینل  $\text{Fe}_3\text{O}_4$

## روش تهیه مواد و آزمایش

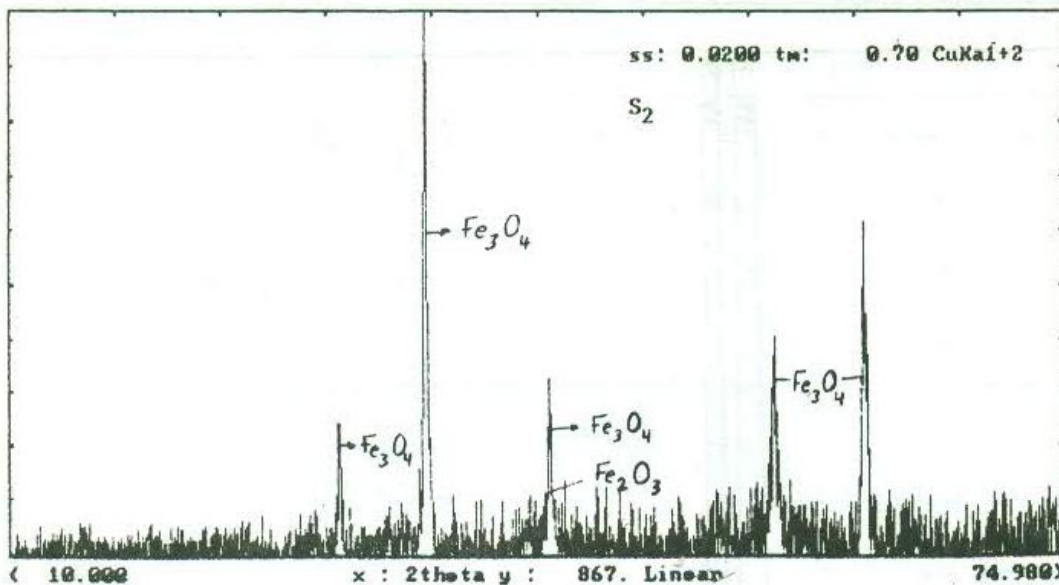
یکی از روش‌های مرسوم برای تهیه فریت آهن روش گرمادادن خشک همایت نامغناطیسی  $\text{Fe}_2\text{O}_3 - \alpha$  در فضای احیاء کننده است. در این روش فریت آهن از طریق کاهش اکسید آهن سه ظرفیتی در  $\text{Fe}_2\text{O}_3 - \alpha$  در کوره‌ای با فضای احیاء کننده به دست می‌آید [۵].

واکنشهای شیمیایی (توپوشیمیایی) به روش احیاء خشک، بربایه واکنش جامد و گاز است، که در آن سرعت واکنش در شرایط یکسان ترمودینامیکی در مکانهای مختلف، گونه‌گون است. از این روش احیاء خشک در صد ماده احیاء کننده، زمان و دمای پخت در تشکیل فاز مورد نظر یعنی اسپینیل  $\text{Fe}_3\text{O}_4$ ، بسیار موثرند.

با استفاده از روش احیاء  $\text{Fe}_2\text{O}_3 - \alpha$  در دماهای مختلف و زمان پخت مناسب، نمونه‌هایی از فریت آهن تهیه شد. ماده احیاء کننده و درصد آن، دما و زمان پخت نمونه‌های مورد بررسی در جدول ۱ آورده شده‌اند. برای تشخیص مقدار مناسب ماده احیاء کننده، دما و زمان پخت در تشکیل فاز اسپینیل  $\text{Fe}_3\text{O}_4$ ، لازم است فازهای ترکیب

جدول ۱ مشخصات نمونه‌های فریت آهن تهیه شده به روش احیاء خشک

نمونه	مواد احیاء کننده و درصد آن	دما احیاء (°C)	زمان پخت (دقیقه)
S <sub>1</sub>	% ۲۰ نشاسته	۶۸۰	۵
S <sub>2</sub>	% ۱۰ نشاسته	۷۲۰	۵
S <sub>3</sub>	% ۱۰ نشاسته	۷۴۰	۵
S <sub>4</sub>	% ۱۰۰ کربن فعال	۷۴۰	۵
S <sub>5</sub>	% ۱۲۰ کربن فعال	۷۶۰	۵
S <sub>6</sub>	% ۳۵ کربن فعال	۷۶۰	۵
S <sub>7</sub>	% ۱۲۰ کربن فعال	۷۴۰	۵
S <sub>8</sub>	% ۳۵ کربن فعال	۷۴۰	۵
S <sub>9</sub>	% ۳۵ کربن فعال	۷۸۰	۵



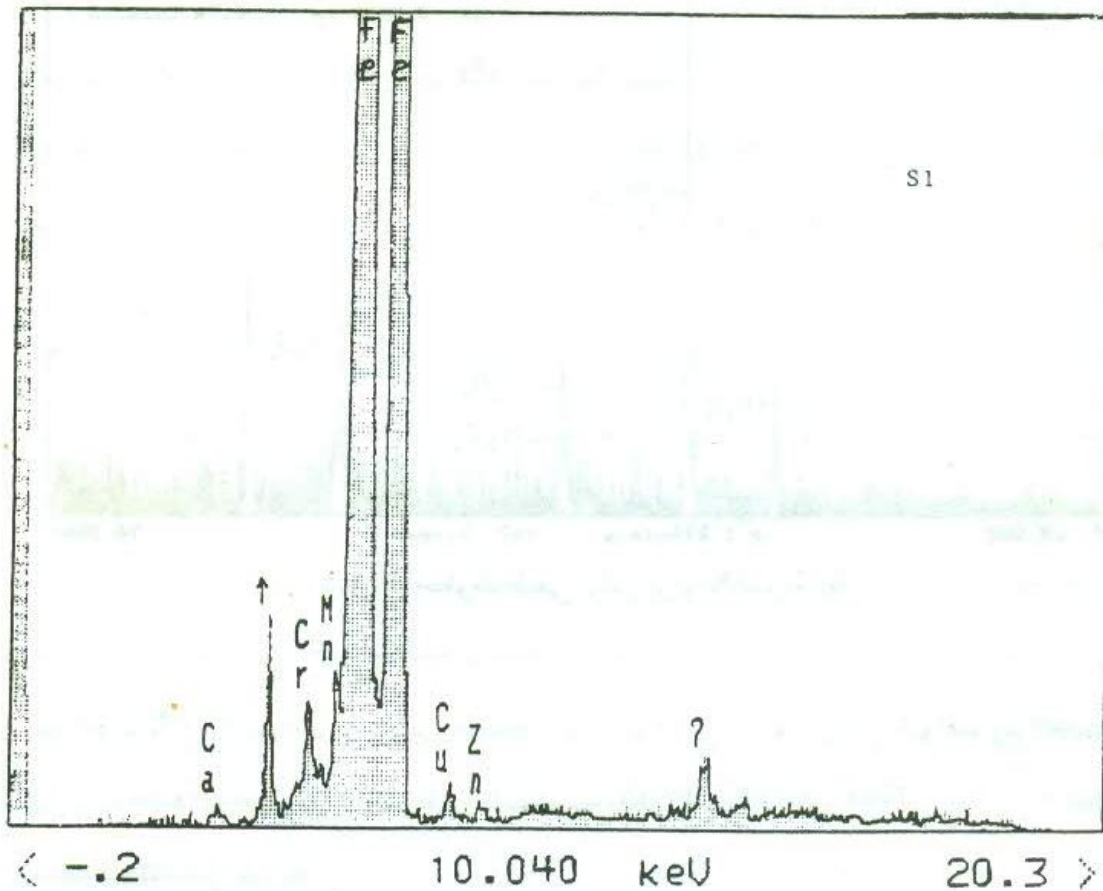
شکل ۲ خطوط طیفی پراش پرتو X نمونه ۱

که احتمالاً در گسترهای دمایی مختلف به وجود می‌آیند، بررسی شوند، زیرا احتمال دارد که فازهای مطلوب، محلو، و نامطلوب  $\text{FeO}$ ،  $\text{Fe}_2\text{O}_3$ ،  $\text{Fe}_3\text{O}_4$  و  $\text{Fe}$  در دماهای مختلف تشکیل شوند.

یکی از شاخصهای مهم در شناسایی فازهای ترکیبی، قله‌های پراش پرتو X صفحه‌های بلورین است که برای فازهای  $\alpha$ - $\text{Fe}_2\text{O}_3$ ،  $\text{FeO}$ ،  $\text{Fe}_3\text{O}_4$  و  $\text{Fe}$  به ترتیب عبارتند از صفحه‌های (۱۰۴)، (۳۱۱)، (۲۰۰) و (۱۱۰). از این رو برای تجزیه کیفی و کمی فازها در نمونه‌های  $\text{Fe}_3\text{O}_4$  تهیه شده در دماهای مختلف از روش پراش پرتو X و برای تعیین درجه خلوص نمونه‌های پودری از روش فلورسانی پرتو X استفاده شد. خطوط طیفی حاصل از پراش پرتو X و نیز فلورسانی پرتو X برای بهترین نمونه‌ها در شکل ۲ و ۳ تصویر شده‌اند.

### بحث و برداشت

مقایسه خطوط طیفی حاصل از پراش پرتو X نمونه‌ها با یکدیگر نشان داد که بیشینه شدت پراش تقریباً در زاویه  $2\theta=26^{\circ}$  قرار دارد که با مراجعه به کارتهای ASTM



شکل ۳ خطوط طیفی فلورسان پرتو X نمونه S<sub>1</sub>

علوم شد که باید به فاز Fe<sub>3</sub>O<sub>4</sub> مربوط باشد. بنابراین می‌توان نتیجه گرفت که در تمام نمونه‌های مورد بررسی، فاز Fe<sub>3</sub>O<sub>4</sub> تشکیل شده است. در خطوط طیفی همه نمونه‌ها نیز قله‌های ضعیفی وابسته به فاز Fe<sub>2</sub>O<sub>3</sub> دیده می‌شوند که ضعیفترین آنها مربوط به نمونه‌های S<sub>8</sub>, S<sub>2</sub> است. در شکل ۲ قله‌های وابسته به فازهای Fe<sub>3</sub>O<sub>4</sub> و Fe<sub>2</sub>O<sub>3</sub> در نمونه S<sub>2</sub> مشخص شده‌اند.

برای بررسی ناخالصی در نمونه‌ها، سه نمونه S<sub>1</sub>, S<sub>5</sub>, S<sub>7</sub>, انتخاب و مورد آزمایش فلورسانی پرتو X, XRF، قرار گرفتند. با شناسایی قله‌های وابسته به خطوط K $\alpha$  و مقایسه شدت آنها، ناخالصیها و نسبت آنها تعیین شدند، که مهمترین آنها با ذکر درصد در جدول ۲ آورده و خطوط طیفی XRF نمونه S<sub>1</sub> در شکل ۳ نشان داده‌ایم.

خطوط طیفی حاصل از پراش پرتو X نمونه‌های بالا نیز وجود این ناخالصیها را تایید می‌کند. نفوذ ناخالصی در نمونه‌ها را می‌توان عمدتاً از بدنهٔ قایقکهایی که همایت در آن

جدول ۲ ناخالصی ها و درصد آن در نمونه های S<sub>7</sub>, S<sub>5</sub>, S<sub>1</sub>

نمونه ↓% ناخالصی ←					
Al	Si	Zn	Ca	Mn	Cr
-	-	۰۲	۰۲	۱	۱
۲	۰۵	-	۰۵	-	۰۲
-	۱	-	۱	۰۵	۰۵

قرار داده می شود و نیز اتمسفر کوره دانست. از آنجائیکه شرایط آزمایشگاهی و مواد اولیه سایر نمونه هایکسان بوده است، می توان نتیجه گرفت که ناخالصی در بقیه نمونه ها کم و بیش مشابه بوده و از حدود ۳ درصد تجاوز نمی کند. بنابراین تاثیر ناخالصی بر خواص مغناطیسی نمونه ها تقریباً یک اندازه است.

در مجموع از نتایج بدست آمده از پراش پرتو X نمونه ها می توان نتیجه گرفت که در اثر احیای هماتیت،  $\alpha$  - Fe<sub>3</sub>O<sub>4</sub>، هنگام گرمادهی، پیوندهای موجود در شبکه چارگوشی شکسته و در نتیجه تعدادی از یونهای اکسیژن موفق به فرار از شبکه می شوند. بدین ترتیب فرصتی مناسب برای ایجاد ساختار شبکه اسپنیل فراهم می شود. واکنش جامد با گاز سبب می شود که نخست اکسیژن های موجود در سطح ماده هماتیت به وسیله ماده احیاء کننده جذب شود، و سپس اکسیژن های درون شبکه ماده به سوی سطح حرکت کنند. نیروی رانشی، که لازمه چنین حرکتی است، از انرژی گرمایی کوره تامین می شود، که این امر خود باعث افزایش ارتعاشات شبکه چارگوشی در هماتیت خواهد شد و در نتیجه در فروریختن پیوندهای شبکه موثر واقع می شود. تشکیل فازهای مخلوط Fe<sub>3</sub>O<sub>4</sub> ، Fe<sub>2</sub>O<sub>3</sub> و FeO را نیز می توان نتیجه تشکیل لایه های سطحی و ایجاد پوشش های اکسیدی با درجه اکسایش بالا پیرامون دانه های جامد دانست.

تجزیه و تحلیل نتایج پراش پرتو X نمونه ها مشخص می کند که نسبت فاز Fe<sub>3</sub>O<sub>4</sub> در آنها در حدود ۹۴ تا ۹۹ درصد است و مابقی عمدتاً شامل Fe<sub>2</sub>O<sub>3</sub> است. مناسب ترین

در صد ماده احیاء کننده و دمای پخت در ۵ دقیقه به ترتیب ده در صد نشاسته و  $720^{\circ}\text{C}$  یا سی و پنج در صد کربن فعال و  $740^{\circ}\text{C}$  تشخیص داده شد که به نمونه های  $\text{S}_2$  و  $\text{S}_8$  مربوط می شوند. در این نمونه ها نسبت فاز  $\text{Fe}_3\text{O}_4$  به ترتیب برابر ۹۹ در صد و ۹۷ در صد تعیین شد. نتایج به دست آمده از اندازه گیری مغناطش جرمی نمونه ها نیز مؤید این امر است، زیرا که در دو نمونه  $\text{S}_2$  و  $\text{S}_8$  بیشترین مغناطش جرمی مشاهده شده است [۶].

#### مراجع

- 1- Parker, R.J. (1990), *Advances in permanent Magnetism* John wiley
- 2- Hibst, H.,(1982) *Angew. Chem.* **94**, 283.
- 3- *Encyclopedia of chemical technology* vol,9.(1988)
- 4- Kittel, C. (1986) *Introduction to Solid State Physice*, 6th, ed wiley & Sons
- ۵- مهدی علوی و جمشید عمیقیان، ۱۳۶۸، چکیده مقالات کنفرانس فیزیک ایران، دانشگاه تهران.
- ۶- سید ابراهیم موسوی، ۱۳۷۲، پایان نامه کارشناسی ارشد، دانشگاه اصفهان.